

برآورد بسامدها و اشکال مودی سدهای خاکی مسجد سلیمان و مارون با استفاده از روش‌های کلاسیک و پیشرفتی پردازش سیگنال

سعید خادمی (دانشجوی کارشناسی ارشد)

محمد داوودی (استادیار)

بزوئشگاه بین‌المللی زلزله شناسی و مهندسی زلزله

در این نوشتار، نتایج مشخصات دینامیکی دو سد خاکی بزرگ کشور که با استفاده از پردازش رکوردهای ثبت شده در انفجارهای مختلف سایتی محاسبه شده‌اند ارائه می‌شود. بدین منظور، از تاریخچه‌ی زمانی سرعت ثبت شده در ۱۲ انفجار مختلف سایت سد مسجد سلیمان و ۷ انفجار مختلف سایت سد مارون استفاده شد و با توجه به عدم دسترسی به رکوردهای محرك و روودی، مقادیر بسامدها و اشکال مودی سدهای ذکور با استفاده از روش چهارطیفی برآورد شد. به‌دلیل مانابودن رکوردهای ثبت شده و همچنین افزایش دقت محاسبات، از روش پیشرفتی پردازش سیگنال نیز در حوزه‌ی زمان-بسامد (TFD)^۱ استفاده شد. در نوشتار حاضر، نتایج محاسبات ذکور و مقایسه‌ی کارآبی هرکدام از دو روش فوق ارائه خواهد شد.

s.khademi59@yahoo.com
m-davood@iies.ac.ir

واژگان کلیدی: سد خاکی، پردازش سیگنال، روش چهارطیفی، توزیع زمان-بسامد(TFD)، بسامد مودی، اشکال مودی، آزمایش انفجار.

۱. مقدمه

دوره‌یی سد انجام گیرد. در مجموع با مقایسه‌ی مزايا و معایب هر کدام از آزمایش‌های ارتعاشی درجا در سدهای خاکی می‌توان گفت که استفاده از رکوردهای زمین‌لرزه‌های ثبت شده در بدنه سدهای خاکی با وجود اینکه اطلاعات با ارزشی از رفتار غیرخطی بدنه سد را در اختیار پژوهشگر قرار می‌دهد ولی به‌عملت قابل کنترل نبودن منبع ایجاد موج زمین‌لرزه از نظر زمانی، مکانی، شدت ارتعاش و تکرار پذیری و همچنین نیاز به استقرار دائم شبکه‌ی شتاب‌نگاری در بدنه سد، با مشکلاتی مواجه است که برای راه حل، از دیگر آزمایش‌های ارتعاشی درجا (با محدودیت کوچک‌بودن دامنه‌ی ارتعاشات) در سدهای خاکی استفاده شده است.^[۲]

در مورد انجام آزمایش‌های ارتعاشی درجا در سدهای خاکی به‌نظر می‌رسد با توجه به اینکه تحلیل دینامیکی سدهای مذکور در زمین‌لرزه‌های قوی عمدتاً با فرض رفتار واقعی غیرخطی خاک، فرض محیط دو فازه و در حوزه‌ی زمان انجام می‌گیرد، استفاده از نتایج آزمایش‌های ارتعاشی درجا عمدتاً با هدف تدقیق مشخصات دینامیکی (برای نمونه پارامترهای مصالح) در محدوده تغییرشکل‌های کوچک قابل توجیه است. در این صورت با مقایسه‌ی نتایج تحلیل مودال و آزمایش‌های ارتعاشی درجا، مدل عددی برای استفاده در تحلیل‌های دینامیکی کامل‌تر تدقیق می‌شود و ارزیابی دقیق‌تر رفتار لرزه‌ی سد در زمین‌لرزه‌های قوی‌تر ممکن می‌شود. در واقع توصیه شده است که از نتایج آزمایش‌های ارتعاش اجباری، محیطی و انفجار برای افزایش دقت مدل‌های پایه (در محدوده رفتار خطی) استفاده شود تا با بروزیابی رفتار غیرخطی، پیش‌بینی رفتار واقعی سدها در زمین‌لرزه نیز ممکن

مشاوران طرح‌های سدسازی عمدتاً از روش‌های عددی برای مطالعه‌ی رفتار لرزه‌ی سدهای خاکی استفاده می‌کنند که بسته به دقت این روش‌ها و همچنین شرایط ساخت و اجرای سد، رفتار پیش‌بینی شده در مقابل زمین‌لرزه با رفتار واقعی می‌تواند متفاوت باشد. بدین‌منظور ضروری است با انجام آزمایش‌های ارتعاشی درجا بر روی چندین سد خاکی بزرگ در کشور، پارامترهای ارتعاشی بدنه سدهای مورد مطالعه به دست آید و در صد انتباخت رفتار واقعی سد با مقادیر فرض شده در روند طراحی و تحلیل بررسی شود.^[۳] با مطالعه‌ی تاریخچه‌ی آزمایش‌های ارتعاشی درجا در سدهای خاکی،^[۴] انواع آزمایش‌های مذکور را می‌توان در چهارگروه کلی: ثبت ارتعاشات سد به زلزله، آزمایش ارتعاش اجباری، آزمایش ارتعاش محیطی و ثبت پاسخ سد به انفجارهای مختلف سایتی طبقه‌بندی کرد. بررسی رفتار لرزه‌ی سدهای خاکی با استفاده از زلزله‌های واقعی به‌دلیل نیاز به ابزارگذاری دقیق بر روی بدنه سد از یک طرف و قعی زمین‌لرزه در منطقه‌ی احداث سد از طرف دیگر اغلب دشوار و کاهی دست نیافتنی است. در این راستا، دیگر آزمایش‌های ارتعاشی درجا را با توجه به پیشرفت‌های اخیر در روش‌های پردازش سیگنال می‌توان به‌منظمه‌ی روشی مناسب برای تعیین مشخصات درجای دینامیکی مودی شامل بسامد، اشکال و میرایی‌های مودی سدهای خاکی و نیز سایر انواع سازه‌های مهم به شمار آورد. در این میان آزمایش ارتعاش محیطی از چنان جایگاهی برجوردار است که معمولاً توصیه می‌شود در برخی بازدهی‌های

نژدیک به هم و یا روی هم افتاده باشد، مشخص کردن بسامدهای تشید و اشکال مودی با مشکلاتی مواجه می‌شود که برای گریز از این مشکلات، در تفسیر نتایج آزمایش‌های ارتعاش محیطی از توزیع زمان-بسامد استفاده می‌شود.^[۱] در ادامه‌ی نوشتار، ابتدا مختصری در مورد مبانی روش‌های چهارطیفی و TFD و نحوه‌ی برآوردهای اشکال مودی سدهای اشکال مودی سدهای روش‌های چهارطیفی و استخراج بسامدهای اشکال داده خواهد شد و سپس به شرح نحوه‌ی انجام آزمایش و استخراج بسامدهای اشکال مودی سدهای مسجدسلیمان و مارون پرداخته خواهد شد.

۲. مبانی روش چهارطیفی

۱.۲. تئوری محاسبات چهارطیفی

نقشه‌ی قوت روش چهارطیفی در برآورد بسامدهای اشکال مودی سدهای خاکی، استفاده‌ی هم‌زمان از خاصیت چهار طیف: PSD، CPS، CCPS و CS در حالت درسترس نبودن محرك ورودی است. با استفاده از این روش و الگوريتم ارائه شده در قسمت بعدی، بسامدهای طبیعی سیستم به راحتی از سایر قله‌های موجود در طیف چگالی توان متایر می‌شوند.

الف) محاسبه‌ی PSD از تابع خود همبستگی

با انجام تبدیل فوریه‌ی تابع خود همبستگی^[۱] R_{xx} یک نگاشت می‌توان به مقادیر چگالی طیف توان S_{xx} آن نگاشت دسترسی پیدا کرد:^[۱]

$$R_{xx}(\tau) = \frac{1}{T} \int_{-\frac{T}{2}}^{\frac{T}{2}} x(t)x(t+\tau)dt \quad (1)$$

$$S_{xx}(f) = \int_{-\infty}^{\infty} R_{xx}(\tau) e^{-J\tau\pi f\tau} d\tau \quad (2)$$

در رابطه‌ی ۱، $J = \sqrt{-1}$ است.

ب) محاسبه‌ی PSD با استفاده‌ی مستقیم از تبدیل فوریه

دومین راه محاسبه‌ی تابع چگالی طبیعی، استفاده‌ی مستقیم از تبدیل فوریه‌ی نگاشت‌های اولیه است. اگر مجموعه‌ی نگاشت‌های پیشای مانا (وارگودیک) $\{X(t)\}$ را در نظر گیریم به طوری که تبدیل فوریه‌ی محدود K این نگاشت با طول T از مجموعه‌ی نگاشت‌های فوق با رابطه‌ی^[۶] ۳ تعریف شود:

$$X_k(f, T) = \int_0^T x_k(t) e^{-J\tau\pi f t} dt \quad (3)$$

در این صورت:

$$S_{xx}(f) = \frac{1}{T} \text{حد}_{T \rightarrow \infty} E \left[|X_k(f, T)|^2 \right], \quad f > 0 \quad (4)$$

در رابطه‌ی ۴، آپرатор E بر روی اندیس K میانگین‌گیری می‌کند. البته این تذکر لازم است که در تجزیه و تحلیل نگاشت‌های مربوط به فرآیندهای مانا (وارگودیک) یک عضو مجموعه‌ی برای انجام محاسبات کافی است ولی برای اطمینان در عرض مجموعه نیز معدل‌گیری می‌کنند.^[۱۲] در رابطه‌ی ۴، اگر u عبارت از واحد متناظر با دامنه‌ی سیگنال $X(t)$ باشد، واحد $|S_{xx}(f)|$ بر حسب u^2/Hz خواهد شد. براساس تحقیقات انجام شده ثابت شده است که طیف مذکور که از تبدیل فوریه‌ی مستقیم نگاشت‌ها به دست آمده است با طیف بدست آمده از روش توابع همبستگی یکی است و به این تساوی عموماً رابطه‌ی وینکینچین^[۱۲] گفته می‌شود.^[۸] از آن‌جا

شود.^[۴] همچنین نتایج مطالعات گذشتگان نشان می‌دهد بسامدهای مودی سدهای خاکی در زمین لرزه‌های قوی (در محدوده‌ی رفتار غیرخطی خاک) نسبت به نتایج حاصل از دیگر آزمایش‌های ارتعاشی درجا (به دلیل رفتار کشسانی خاک) در حدود ۱۰٪ کاهش می‌یابد^[۲] که مطلب مذکور بایستی در تدقیق مدل عددی سد ملحوظ شود.

بررسی سابقه‌ی مطالعات رفتار لرزه‌بی سدهای خاکی دنیا نشان می‌دهد که استفاده از آزمایش مدل واقعی در سدهای مذکور با استفاده از یک یا چند دستگاه لرزاننده از دهه ۱۹۶۰ آغاز شده است و تا کنون در نقاط مختلف دنیا بر روی ۱۲ سد انجام شده است. همچنین آزمایش ارتعاش محیطی و ثبت ارتعاشات حاصل از انفجار در سدهای خاکی مختلف دنیا از سال ۱۹۷۶ آغاز و تاکنون بر روی ۱۸ سد خاکی با اهداف متفاوت انجام شده است.^[۱] برای اولین بار در سدهای خاکی ایران نیز در سال ۱۳۷۹، آزمایش‌های ارتعاش محیطی و انفجار بر روی سدهای خاکی مارون و مسجد سلیمان (به منزله‌ی بزرگ‌ترین سدهای خاکی کشور) و در سال ۱۳۸۰، آزمایش ارتعاش اجباری بر روی سد خاکی مسجد سلیمان انجام شد و مشخصات دینامیکی سدهای مذکور با پردازش رکوردهای حاصله به دست آمد.^[۱]

بررسی تاریخچه‌ی مطالعات صورت‌گرفته در زمینه‌ی پردازش سیگنال نشان می‌دهد که ابتدایی ترین روش، برآورد بسامدهای طبیعی سدها با استفاده از تبدیل سریع فوریه‌ی FFT^[۵] بوده است.^[۵] ولی به دلیل معایبی از جمله تاباوی نبودن نگاشت‌های مورد استفاده، میرانشدن نگاشت‌ها در زمان بی‌نهایت و همراه بودن آن‌ها با اختشاشات، استفاده از FFT در محاسبات طیفی همواره با خطأ همراه است. برای ارائه‌ی راه حل جایگزین، استفاده از تابع چگالی طیفی توان PSD^[۲] (که در متون علمی مختلف، گاهی طیف خود توان^[۳]، تابع چگالی خود طیف^[۴] و یا به طور خلاصه خود طیف^[۵] نیز گفته می‌شود)^[۶] مطرح شده است که طیف صاف و همواری به دست می‌دهد. برای تشخیص بهتر بسامدهای غالبه سد، پیشنهاد شده است نگاشت‌های هم‌زمان هر دو نقطه با استفاده از دامنه‌ی طیف توان متقاطع CPS^[۷] و طیف فاز فاز بین دو نقطه با استفاده از دامنه‌ی سد مطالعه شود و بسامدهای غالبه مشترک و نوع همبستگی متقاطع CCPS^[۸] به دست آید.^[۷] برای تعیین درصد اطمینان به صحبت مراحل مختلف آزمایش و تحلیل، از طیف ارتباط CS^[۹] بین دو نگاشت نیز استفاده شده است.^[۸] اخیراً با معرفی روش چهارطیفی در پردازش نگاشت‌های ارتعاشات مختلف ثبت شده در بدنی سدهای خاکی سعی شده است از توانایی چهار نوع طیف مختلف (CCPS، CPS، PSD و CCPS) برای شناسایی دقیق‌تر بسامدها و اشکال مودی سدهای خاکی و همچنین انواع دیگر سازه‌ها استفاده شود.^[۱۱-۱۰] این تذکر لازم است که مبانی کلیی روش‌های مذکور، استفاده از رکوردهای مانا (عنی سیگنال‌هایی که مشخصات آماری آن‌ها در طول زمان تغییرات ناچیزی داشته باشند) همانند رکوردهای ارتعاش محیطی بوده است.

در مطالعات شناسایی سیستم با استفاده از رکوردهای ارتعاش محیطی، گاهی پیک‌های موجود در طیف‌های چهارگانه‌ی مذکور واضح نیست و تعیین دقیق آن‌ها با مشکلاتی مواجه می‌شود به طوری که برخی از مودها مخفی مانده است و شناسایی نمی‌شوند. در چنین مواردی، از ارتعاشات ثبت شده در نقاط مختلف بدنی سد در اثر تحریکات گذرا (مانند انفجارهای مختلف سایتی و بازو و ستمهای خروجی آب) برای غلیبه براین مشکلات استفاده شده است.^[۱۰-۱۱] از آنجاکه ارتعاشات ناشی از آزمایش تحریک گذرا برخلاف ارتعاشات مانای محیطی ناما است، استفاده از تحلیل‌های زمان-بسامد TFD و یا ویولت^[۱۰] برای شناسایی سیستم‌های سازه‌ی مورد توجه قرار می‌گیرد.^[۷-۱۰] همچنین در برخی از مطالعات پردازش سیگنال برای استخراج پارامترهای مودی سازه‌ها، هنگامی که تابع چگالی طیفی دارای قله‌های

در عمل به هنگام آزمایش ارتعاش درجای سدهای بزرگ اتفاق می‌افتد، تحریک سد با منابع تحریک مختلف با فواصل متفاوت از نقاط x و y و تأثیر نویزهای خارجی به همراه خطاهای محاسباتی است که باعث کاهش مقادیر طیف CS از مقدار واحد کاهش می‌شود ولی همواره بین صفر و یک تغییر می‌کند. نکته نهفته در محاسبات طیف CS این است که طیف مذکور در بسامدهای غالب سد دچار شدید می‌شود و در منحنی تغییرات دامنه طیف بر حسب بسامد، پیک ظاهر می‌شود. با توجه به دقت هر مسئله‌ی خاص می‌توان حد قابل قبول برای دامنه طیف CS را تعیین کرد ولی معمولاً مقادیر دامنه طیف کمتر از 5° ، اطمینان لازم راجع به درستی نتایج محاسبات CPS ایجاد نمی‌کند.^[۱] در هر حال مقدار تابع ارتباط بیشتر معرف کیفیت نسبی داده‌هاست و همواره می‌توان ادعا کرد پیک‌هایی از طیف ارتباط که منطبق بر پیک‌های PSD و CPS شوند اطمینان بیشتری به بسامد شدید بودن پیک‌ها ایجاد می‌کنند.^[۲] در هر حال مقدار طیف ارتباط γ_{xy} دو نگاشت (t) و (y) را می‌توان با استفاده از رابطه^[۳] ۱۱ محاسبه کرد:

$$\gamma_{xy}(f) = \frac{|S_{xy}(f)|}{S_{xx}(f) S_{yy}(f)} \quad (11)$$

۲.۱. برآورد بسامدهای طبیعی با روش چهارطیفی

قله‌هایی از طیف PSD به منزله‌ی کاندید بسامدهای مودی انتخاب می‌شود که در بسامدهای مذکور اولاً طیف دامنه CPS نیز دارای قله باشد، ثانیاً مقادیر دامنه طیف ارتباط مقادیر بیشتر از 5° داشته باشد و ثالثاً طیف فاز متقاطع دارای مقادیر نزدیک صفر یا 180° درجه باشد.

ازین بسامدهای به دست آمده برای کلیه نقاط اندازه‌گیری، بسامد های به منزله‌ی بهترین کاندید بسامدهای مودی انتخاب می‌شود که اولاً دارای تکرارپذیری بیشتری باشند، ثانیاً با توجه به فراوانی در بین نقاط، مقادیر طیف ارتباط به عدد ۱ نزدیک‌تر باشند.

برای کلیه بسامدهای منتخب، اشکال مودی بدنی سد ترسیم می‌شود (در بند ۳.۲. شرح داده خواهد شد) و در هر بسامدی که شکل حاصله، مود خاصی از بدنی سد را شناسایی کند، بسامد موردنظر به منزله بسامد مودی بدنی سد تعیین می‌شود.

۲.۲. برآورد اشکال مودی با روش چهارطیفی

با پیگیری گام‌های ارائه شده در بند ۲.۲. چندین بسامد برای بررسی بیشتر در قسمت اشکال مودی در نظر گرفته شد. در این قسمت الگوریتم نحوه ترسیم مودی ارائه می‌شود تا با انجام مراحل زیر و از بین بسامدهای پیشنهادی بسامدهای مودی شناسایی شود. در صورتی که شکل مود به دست آمده، یکی از اشکال مودی شناخته شده سد را شناسایی کند؛ بسامد موردنظر به منزله بسامد مودی و شکل مربوطه به منزله شکل مودی بدنی سد تعیین می‌شود.

۱. دامنه طیف PSD نگاشت در بسامد پیشنهادی به دست آید و جذر مقدار حاصله محاسبه شود؛

۲. جذر دامنه طیف به دست آمده در کلیه نقاط نسبت به نقطه‌یی که بیشترین مقدار را دارد همگن شود. با این عمل، بیشینه‌ی دامنه شکل مود به مقدار واحد محدود می‌شود؛

۳. زاویه فاز طیف CPS در بسامد مذکور قرائت شود. اگر مقدار فاز در ربع اول و چهارم دایره‌ی مثلثی قرار گیرد، دو نقطه موردنظر (نقطه‌ی محل ثبت

PSD، تابعی در حوزه بسامد است، با استفاده از این تابع در حقیقت یک نوع اندازه‌گیری از نحوه توزیع بسامدی میانگین مریع داده‌های $E[x^t(t)]$ یا به عبارت دیگر نزخ تغییرات میانگین مریع با بسامد به دست می‌آید.^[۴]

ج) محاسبه طیف توان متقاطع CPS

به کمک روش‌های اشاره شده در بندهای فوق، نحوه تغییرات محتوی بسامدی یک نگاشت به دست می‌آید. با توجه به اینکه قله‌های طیف محاسبه شده می‌تواند به بسامدهای مودی سد مورد مطالعه و یا به قله‌های موجود در طیف محرک ورودی ارتباط داشته باشند، بنابراین هر قله‌یی از طیف FFT و یا PSD را نمی‌توان فقط به بسامد مودی سیستم ارتباط داد. از طرف دیگر، اندازه‌گیری محرک ورودی در اغلب آزمایش‌های ارتعاشی درجا ممکن نیست. برای پرطرف‌کردن ضعف مذکور و تشخیص بهتر بسامدهای غالب سد می‌توان نگاشت‌های هر دو نقطه از بدنی سد را مطالعه کرد و بسامدهای غالب مشترک و نوع فاز بین دو نقطه را با استفاده از طیف CPS به دست آورد.

طیف CPS را می‌توان همانند تابع چگالی طیف توان با استفاده از تابع همبستگی و یا استفاده از تبدیل فوریه به دست آورد. در این صورت رابطه‌های ۲ و ۴ به رابطه‌های ۵ و ۶ تبدیل می‌شود.^[۵]

$$S_{xy}(f) = \int_{-\infty}^{\infty} R_{xy}(\tau) e^{-J\pi f\tau} d\tau \quad (5)$$

$$S_{xy}(f) = \frac{1}{T} \text{حد}_{T \rightarrow \infty} E[X_k^*(f, T) Y_k(f, T)] \quad (6)$$

عبارت از تابع همبستگی متقاطع R_{xy} دو نگاشت X و Y هستند:

$$R_{xy}(\tau) = \frac{1}{T} \int_{-\frac{T}{2}}^{\frac{T}{2}} x(t)y(t + \tau) dt \quad (7)$$

مقادیر S_{xy} مقادیر مختلط هستند و اگر طبق رابطه^[۶] ۸ مقدار حقیقی C_{xy} و موهومی Q_{xy} با N نشان داده شود، می‌توان دامنه طیف S_{xy} را با استفاده از رابطه^[۷] ۹ محاسبه کرد و با رسم دامنه بر حسب بسامد، بسامدهای غالب مشترک را در دو نگاشت $x(t)$ و $y(t)$ تشخیص داد.

$$S_{xy}(f) = C_{xy}(f) - J Q_{xy}(f) \quad (8)$$

$$|S_{xy}(f)| = \sqrt{C_{xy}^*(f) + Q_{xy}^*(f)} \quad (9)$$

برای تشخیص هم فاز یا در فاصله بودن ارتعاشات دو نقطه^[۸] x و y در بسامدهای موردنظر، می‌توان طیف فاز همبستگی متقاطع θ_{xy} دو نگاشت x و y را با استفاده از رابطه^[۹] ۱۰ محاسبه کرد:

$$\theta_{xy}(f) = \operatorname{tg}^{-1} \left[\frac{Q_{xy}(f)}{C_{xy}(f)} \right] \quad (10)$$

د) محاسبه طیف ارتباط CS

برای تعیین درصد اطمینان به صحت نتایج حاصل از طیف‌های PSD و CPS، از طیف ارتباط CS بین دو نگاشت استفاده می‌شود. در حقیقت اگر دو نگاشت $x(t)$ و $y(t)$ پاسخ دو سد به یک محرک مشترک را ثبت کنند و به هنگام ثبت ارتعاشات، نویزهای خارجی وجود نداشته باشد و همچنین در محاسبات طیفی، خطاهای محاسباتی وارد نشود، در این صورت می‌توان انتظار داشت دو نگاشت کاملاً وابسته هستند و مقادیر طیف ارتباط برای کلیه بسامدها برابر واحد شود. آنچه که

را می‌توان از سیگنال اصلی کشف کرد، در حالی‌که فقط به کمک طیف نمی‌توان به این جزئیات دست یافت.

به طورکلی خصوصیات اساسی هر توزیع زمان-بسامد، متناظر با وابستگی آن به سیگنال $x(t)$ است که این وابستگی ممکن است خطی^{۱۶} و یا درجه‌ی دوم^{۱۷} (دوخطی^{۱۸}) باشد.^[۱۴] در توزیع‌های زمان-بسامد خطی، اگر سیگنال $x(t)$ یک ترکیب خطی از چند مؤلفه‌ی سیگنال باشد، آن‌گاه توزیع زمان-بسامد $x(t)$ نیز یک ترکیب خطی توزیع‌های زمان-بسامد هر یک از مؤلفه‌های سیگنال است. برای مثال اگر سیگنال دو مؤلفه‌ی $x(t)$ با مؤلفه‌های $x_1(t)$ و $x_2(t)$ را درنظر بگیریم، خواهیم داشت:

$$x(t) = c_1 x_1(t) + c_2 x_2(t) \Rightarrow \\ T_x(t, f) = c_1 T_{x_1}(t, f) + c_2 T_{x_2}(t, f) \quad (12)$$

در رابطه‌ی ۱۲، c_1 و c_2 ضرایب ثابت است و توزیع زمان-بسامد $T(t, f)$ در نشان داده شده است. یکی از روش‌های توزیع زمان-بسامد خطی متداول، روش طیف فوریه‌ی کوتاه زمان است. جزئیات بیشتری از این روش، معایب و مزایای آن در منابع^[۱۵] شرح داده شده است.

اگرچه خطی بودن یک توزیع، خاصیت مطلوبی محسوب می‌شود ولی از آن جا

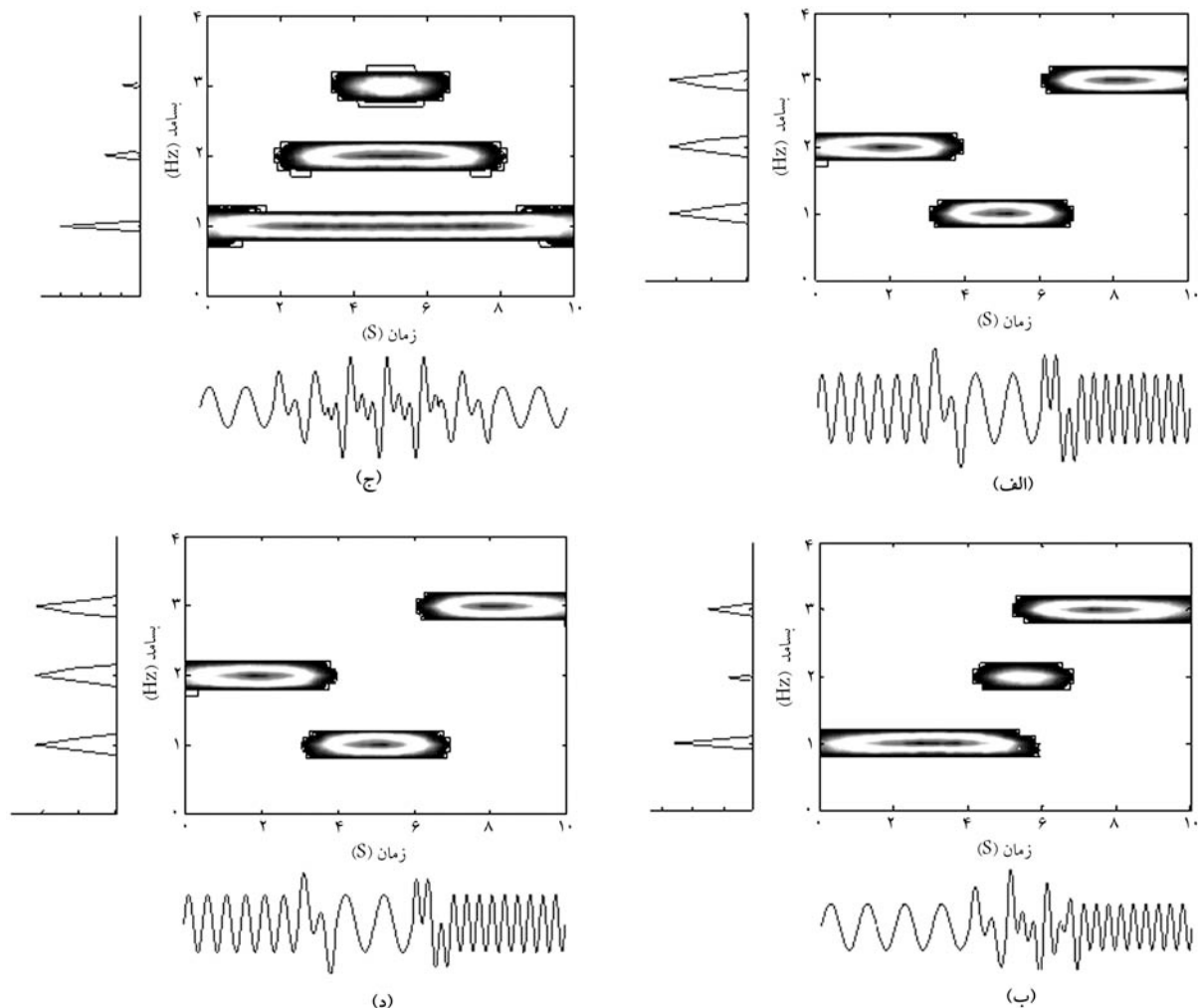
نگاشت نسبت به نقطه‌ی مرجع) هم فاژند؛ و در صورتی که مقدار فاز در ربع دوم و سوم دایره‌ی مثلثاتی قرار گیرد، دو نقطه در فاز مخالف قرار دارند؛

۴. با توجه به جذر دامنه و نوع فاز به دست آمده از گام‌های ۲ و ۳ شکل مود ارتعاشی سد ترسیم شود.

۳. مبانی روش TFD

۱.۳. تئوری محاسبات TFD

تفاوت نتایج حاصل از یک تحلیل طیفی (در حوزه‌ی بسامد) و تحلیل زمان-بسامد را می‌توان با رجوع به شکل ۱ بهتر درک کرد. در این شکل، سیگنال‌های نشان داده شده است که از حالات مختلف ترکیب امواج سینوسی با بسامدهای ۱، ۲ و ۳ هر تر تشکیل یافته‌اند به طورکلی که کلیه‌ی این چهار موج شکل طیفی مشابهی دارند. مثلاً در شکل ۱‌الف، سیگنال اصلی طیفی از سه نوع موج سینوسی ترکیب شده است که هر موج سینوسی پس از دیگری اتفاق می‌افتد. در شکل ۱‌ب نیز لحظاتی را می‌توان یافت که فقط یک، دو و سه موج سینوسی حضور داشته باشند. این اشکال به وضوح نشان می‌دهند که با کمک توزیع زمان-بسامد، کلیه‌ی این جزئیات



شکل ۱. شماتیک توزیع زمان-بسامد امواجی با طول محدود در حالات مختلف ترکیب از امواج سینوسی در سه بسامد ۱، ۲ و ۳ هرتز.^[۱۶]

۲. محاسبه‌ی دامنه و فاز سیگنال در حوزه‌ی زمان -بسامد [۱۷]
همان‌طورکه در بند ۳ شرح داده شد، دامنه‌ی سیگنال $S_i(t)$ را می‌توان با استفاده از توزیع عمومی TFD و از رابطه‌ی زیر در حوزه‌ی زمان -بسامد بدست آورد:

$$\rho_{S_i}(t, f) = \iiint e^{-J\pi\nu t - J\pi\tau f + J\pi\tau u} g(\nu, \tau) S_i^* \left[u + \frac{\nu}{2} \right] S_i \left[u - \frac{\nu}{2} \right] d\nu d\tau du \quad (17)$$

در رابطه‌ی ۱۷، اگر u عبارت از واحد متاناظر با دامنه‌ی سیگنال $S_i(t)$ باشد، واحد رابطه‌ی $\rho_{S_i}(t, f)$ بر حسب u خواهد شد.
توزيع زمان -بسامد متقاطع دو سیگنال $S_i(t)$ و $S_j(t)$ را نیز می‌توان مشابه رابطه‌ی ۱۷ و به صورت رابطه‌ی ۱۸ نشان داد:

$$\rho_{S_i S_j}(t, f) = \iiint e^{-J\pi\nu t - J\pi\tau f + J\pi\tau u} g(\nu, \tau) S_i^* \left[u + \frac{\nu}{2} \right] S_j \left[u - \frac{\nu}{2} \right] d\nu d\tau du \quad (18)$$

مقادیر $\rho_{S_i S_j}(t, f)$ مقادیر مختلفی هستند و اختلاف فاز (PH) بین دو نگاشت $S_i(t)$ و $S_j(t)$ را می‌توان مشابه رابطه‌ی ۱۰ در حوزه‌ی زمان -بسامد محاسبه کرد:

$$PH_{i,j}(t, f) = \tan^{-1} \left[\frac{Im(\rho_{S_i S_j}(t, f))}{Re(\rho_{S_i S_j}(t, f))} \right] \quad (19)$$

۳. برآوردهای طبیعی با روش TFD

همان‌طورکه در بند ۳ اشاره شد، روش‌های متنوعی برای توزیع زمان -بسامد سیگنال معرفی شده است و استفاده از هر یک از این روش‌ها در وضوح نمایش زمان -بسامدی سیگنال مؤثر است. لذا برای دستیابی به بهترین وضوح نمایش سیگنال در حوزه‌ی زمان -بسامد ابتدا باید روش‌های مختلف بر روی یکی از رکوردها اعمال شود و پس از بررسی وضوح نمایش زمان -بسامدی سیگنال در هر یک از آن‌ها، بهترین روش برای پردازش بقیه رکوردها انتخاب شود. سپس با استفاده از روش انتخابی، کلیه نگاشتها پردازش می‌شوند تا دامنه و فاز نقاط نسبت به نقطه‌ی مرجع در حوزه‌ی زمان -بسامد بدست آید.

قله‌هایی از دامنه نقاط در حوزه‌ی زمان -بسامد بهمنزله‌ی کاندید بسامدهای مودی انتخاب می‌شود به طوری‌که در بسامدهای مذکور تمام نقاط دارای قله باشند. در نهایت برای کلیه بسامدهای انتخاب شده، اشکال مودی بدنه‌ی سد ترسیم می‌شوند (در بند ۳.۳. شرح داده خواهد شد) و در هر بسامدی که شکل حاصله، مود خاصی از بدنه‌ی سد را شناسایی کند، بسامد موردنظر بهمنزله‌ی بسامد مودی بدنه‌ی سد تعیین می‌شود.

۴. برآوردهای اشکال مودی با روش TFD

در این قسمت الگوریتم نحوه‌ی ترسیم اشکال مودی ارائه می‌شود تا با انجام مراحل زیر و از بین بسامدهای پیشنهادی، بسامدهای مودی شناسایی شود. در صورتی که شکل مود بدست آمده یکی از اشکال مودی شناخته شده می‌شود را شناسایی کند، بسامد موردنظر بهمنزله‌ی بسامد مودی و شکل مربوط بهمنزله‌ی شکل مودی بدنه‌ی سد تعیین می‌شود.

۱. دامنه‌ی نگاشت در بسامد پیشنهادی به صورت تابعی از زمان بدست آید و جذر مقدار حاصله در هر لحظه‌ی زمانی محاسبه شود؛

که انرژی یک سیگنال تابع درجه‌ی دومی از دامنه‌ی سیگنال است، برای بررسی توزیع زمان -بسامد سیگنال موردنظر، تابع درجه‌ی دوم، تابعی مطلوب و مناسب خواهد بود. یک توزیع زمان -بسامد انرژی $T_x(t, f)$ ترکیبی از مفاهیم توان لحظه‌ی $|x(t)|^r$ و چگالی انرژی طینه $|X(f)|^r$ است که در نتیجه رابطه‌های ۱۳ و ۱۴ استخراج می‌شود:

$$\int_f T_x(t, f) df = p_x(t) = |x(t)|^r \quad (13)$$

$$\int_t T_x(t, f) dt = P_x(f) = |X(f)|^r \quad (14)$$

در نتیجه انرژی سیگنال $E_x = \int |x(t)|^r dt = \int |X(f)|^r df$ با انتگرال‌گیری از $T_x(t, f)$ در کل حوزه‌ی (محدوده) زمان -بسامد بدست می‌آید. به طورکلی هر توزیع زمان -بسامد درجه‌ی دوم T_x اصل زیر (رابطه‌ی ۱۵) را ارضاء می‌کند:

$$x(t) = c_1 x_1(t) + c_2 x_2(t) \Rightarrow \\ T_x(t, f) = |c_1|^r T_{x_1}(t, f) + |c_2|^r T_{x_2}(t, f) \\ + c_1 c_2^* T_{x_1, x_2}(t, f) + c_2 c_1^* T_{x_2, x_1}(t, f) \quad (15)$$

در رابطه‌ی ۱۵، $T_x(t, f)$ نمایش زمان -بسامد سیگنال اصلی $x(t)$ است و $T_{x_1, x_2}(t, f)$ نمایش زمان -بسامد متقاطع سیگنال‌های $x_1(t)$ ، $x_2(t)$ است. در مجموع طبق اصل بالا (رابطه‌ی ۱۵)، در یک سیگنال n مؤلفه‌ی $(x_k(t), c_k x_k(t))$ ، برای هر مؤلفه‌ی سیگنال $c_k x_k(t)$ ، یک مؤلفه‌ی اصلی متناظر در نمایش زمان -بسامد به صورت $|c_k|^r T_{x_k}(t, f)$ خواهیم داشت و برای هر جفت مؤلفه‌ی سیگنال $(c_k x_k(t), c_l x_l(t))$ ، یک مؤلفه‌ی متقاطع متناظر، در نمایش زمان -بسامد وجود دارد که به شکل $c_k c_l^* T_{x_k, x_l}(t, f) + c_l c_k^* T_{x_l, x_k}(t, f)$ در رابطه‌ی ۱۵ قابل مشاهده است.^[۱۲]

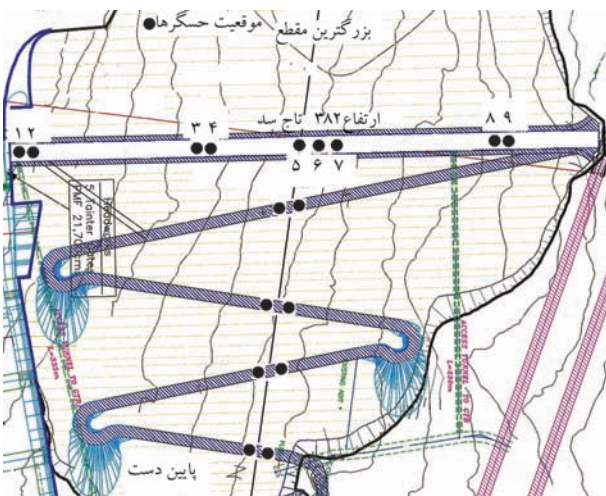
این موضوع، در اکثر مواقع، تحلیل صحیح توزیع زمان -بسامد سیگنال‌های چند مؤلفه‌ی را با مشکل مواجه می‌کند که برای حل این مشکل روش‌های مختلفی ارائه شده است. از متداول‌ترین روش‌های توزیع زمان -بسامد درجه‌ی دوم می‌توان روش کرنل Φ (مرتبه‌ی کوهن 2°) را نام برد که با رابطه‌ی ۱۶ تعریف می‌شود:

$$\rho(t, f) = \iiint e^{J\pi\nu(u-t)} g(\nu, \tau) S^* \left[u - \frac{\tau}{2} \right] S \left[u + \frac{\tau}{2} \right] e^{-J\pi f \tau} d\nu dud\tau \quad (16)$$

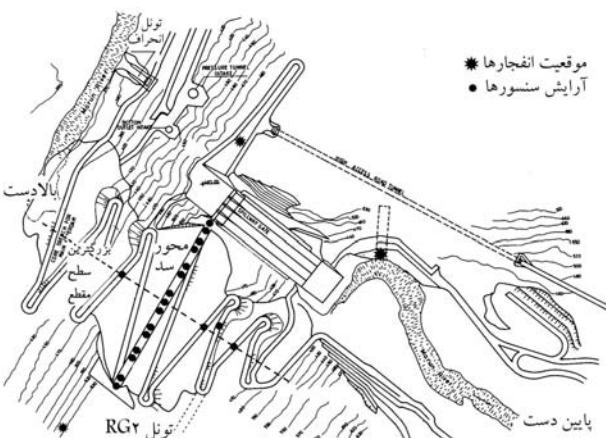
در رابطه‌ی ۱۶، (ν, t) و f تابعی اختیاری به نام تابع کرنل است که با انتخاب آن، نوع توزیع دقیقاً مشخص خواهد شد. همچنین، در تحلیل یک سیگنال، هنگامی که کلیه توابع کرنل استفاده شوند، در حقیقت کلیه توزیع‌های ممکن درباره‌ی آن سیگنال به کار گرفته می‌شوند. توزیع اسپکتروگرام، توزیع ویکنر، توزیع ویکنر در ریشه‌ی، توزیع ویکنر هموارشده و توزیع چوی -ولیامز از متداول‌ترین توزیع‌های زمان -بسامد به دست آمده از روش کرنل هستند. انواع مختلف توزیع‌های زمان -بسامد، معایب و مزایای هر کدام بررسی شده‌اند.^[۱۵]

نقاط استقرار حسگرها بر روی بدنی سدهای موردمطالعه برای ثبت ارتعاشات انفجارهای برسی شده، در شکل‌های ۲ و ۳ ارائه شده است.

در سد مسجدسلیمان با انجام انفجارهای سنگین (تا بیشینه‌ی ۱۵ تن مواد ناریه) در قسمت منابع قرضه‌ی جدید^{۱۱} بدنی سد که در تکیه‌گاه سمت راست و با فاصله‌ی تقریبی ۱ الی ۲ کیلومتر از بدنی سد واقع شده بود و همچنین با انجام انفجارهای متوسط (بیشینه‌ی ۳۰۰ کیلوگرم مواد ناریه) در پیچ ساکو واقع در فاصله‌ی تقریبی ۲/۵ کیلومتری شمال غربی بدنی سد، مصالح موردنیاز برای احداث پوسته‌ی سد تأمین می‌شد. به دلیل ادامه‌ی حفاری در حوضچه‌ی آرامش و برم‌های واقع در تکیه‌گاه‌های چپ و راست، انفجارهای سبک و متوسطی (از ۳ الی ۲۰۰ کیلوگرم مواد ناریه) در نقاط مذکور انجام می‌شد. در تونل‌های دسترسی، حفاره‌ای ترانسفورمر و نیروگاه طرح توسعه نیز انفجارهای سبک تا متوسطی با فاصله‌ی نزدیک از بدنی سد در حال انجام بود. در تحقیق حاضر و از بین مجموعه‌ی ۳۰ انفجار مختلف که با دستگاه‌های ثبات به ثبت رسید، فقط رکوردهای ثبت شده در ۱۲ انفجار به گونه‌ی اختیار شده‌اند که با پردازش آن‌ها بتوان بسامدها و اشکال مودی سد را تشخیص داد. در سد مارون نیز نیروگاه ۱۲۵ مگاواتی در حال احداث واقع در تکیه‌گاه سمت



شکل ۲. پلان سد مسجدسلیمان، نحوی استقرار حسگرها در تاج و شیب‌های بالا دست - پایین دست سد.^[۱]



شکل ۳. پلان سد مارون، موقعیت انفجارهای سایتی و نحوی استقرار حسگرها در تاج و شیب‌های سد.^[۱]

۲. زاویه‌ی فاز نقاط در سامد مذکور در هر لحظه‌ی زمانی قراحت شود. اگر مقدار فاز در ربع اول و چهارم دایره‌ی مثلاً تی قرار گیرد، دو نقطه‌ی موردنظر (نقطه‌ی محل ثبت نگاشت نسبت به نقطه‌ی مرجع) در لحظه‌ی مذکور هم فازند و در صورتی که مقدار فاز در ربع دوم و سوم دایره‌ی مثلاً تی قرار گیرد دو نقطه‌ی در فاز مخالف قرار دارند؛

۳. با توجه به جذر دامنه و نوع فاز به دست آمده از گام‌های ۱ و ۲ شکل مود ارتعاشی سد در هر لحظه ترسیم شود که در این صورت اینیشن ارتعاشی سد در هر سامد به دست می‌آید؛

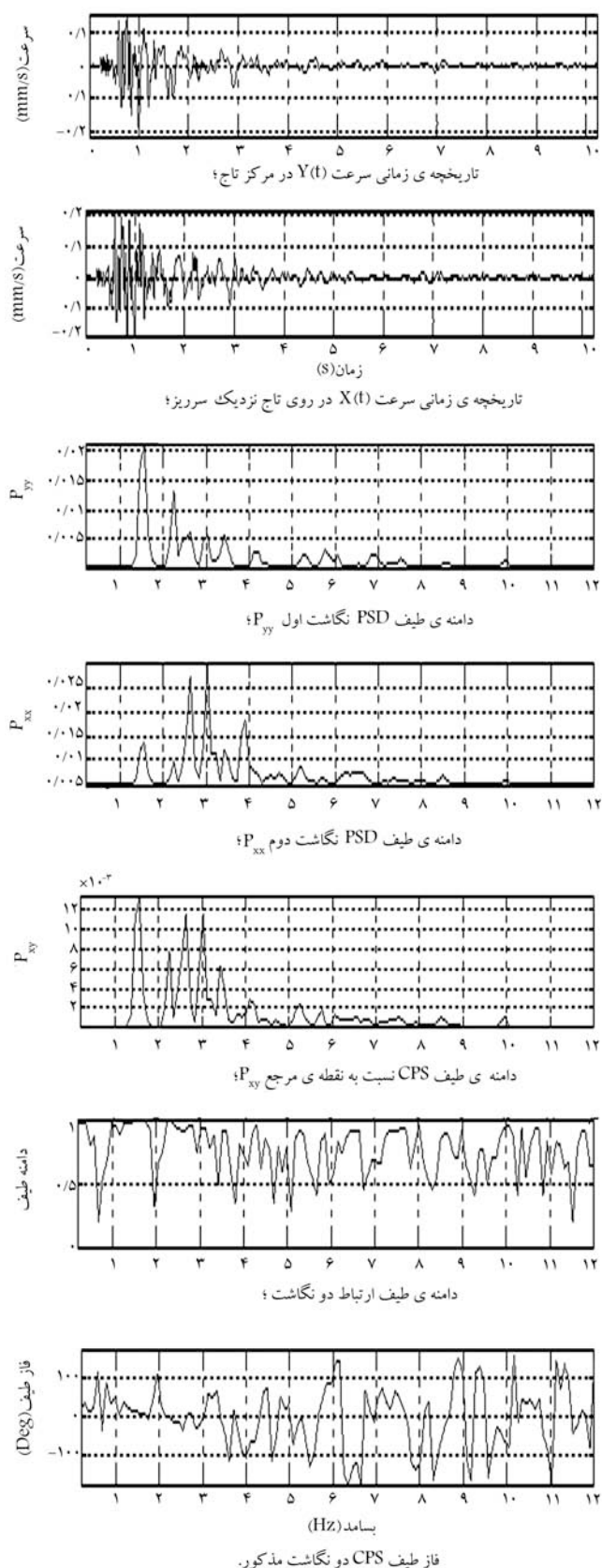
۴. علاوه‌بر انجام عملیات پیشنهادی در گام ۳، برای رسم اشکال مودی می‌توان ممنوعی میانگین دامنه‌ی نقاط در کل زمان ارتعاش را برای هر سامد به دست آورد.

۴. مشخصات سدهای موردمطالعه و انفجارهای ثبت شده

طرح سد سنگریزه‌ی مسجدسلیمان با ارتفاع ۱۷۷ متر از بی‌سنگی، طول تاج ۴۹۲ متر، هسته‌ی رسی قائم و پوسته‌ی سنگریزه‌ی، حجم بدنی سد در حدود ۱۳/۴ میلیون مترمکعب، حجم تقریبی مخزن ۲۳۰ میلیون متر مکعب و نیروگاه زیرزمینی ۲۰۰۰ مگاواتی، در فاصله ۲۵ کیلومتری شمال شرق شهر مسجدسلیمان و در هر ۲۶ کیلومتری پایین دست سد شهید عباسپور واقع شده است. نسبت طول به ارتفاع سد برابر ۲/۷۶ است که در مقایسه با سدهای خاکی دیگر عدد کوچکی است. احداث بدنی سد از سال ۱۳۷۴ آغاز و در سال ۱۳۸۰ به اتمام رسید و با پایان ساخت بده، آبگیری اصلی مخزن در ترازهای بالا آغاز شد.

سد مخزنی مارون، در جنوب غربی ایران و در ۱۹ کیلومتری شمال شرق بهبهان بر روی رودخانه مارون احداث شده است. این سد که از نوع سنگریزه‌ی با هسته‌ی رسی است با حجم مخزن ۱/۲ میلیارد مترمکعب با ارتفاع بیشینه‌ی ۱۶۵ متر از روی فونداسیون، طول تاج ۳۴۵ متر و عرض تاج ۱۵ متر است. نسبت طول به ارتفاع سد برابر ۰/۹ است که در مقایسه با دیگر سدهای خاکی کشورمان، کوچک‌ترین نسبت را دارد. طراحی این سد را شرکت مهندسان مشاور مهاب قدس و با همکاری شرکت مهندسان مشاور رمکنسولت - بخارست از کشور رومانی انجام داده و احداث آن در سال ۱۳۷۷ پایان پذیرفته است.^[۱۸]

در کلیه‌ی آزمایش‌های ارتعاش بدنی سدهای مذکور به انفجارهای مختلف سایتی، از ۹ دستگاه لرزه‌نگار SS-۱ به همراه ۴ دستگاه ثبات ۱-SSR استفاده شده است. در این آزمایش‌ها، آرایش‌های مختلف حسگرها (نیمه‌ی چپ، نیمه‌ی راست، کل تاج و بیشینه‌ی مقطع) و جهات استقرار آن‌ها (بالا دست - پایین دست، طولی و قائم) در ثبت ارتعاشات بدنی سد به انفجارهای مذکور به نحوی انتخاب می‌شد که علاوه‌بر عدم اخلال در روند احداث بدنی سد، آرایش‌های لازم برای مطالعه‌ی اشکال مودی سه‌بعدی سد نیز پوشش داده شود. در هر آرایش استقرار حسگرها، تاریخچه‌ی زمانی سرعت ۹ نقطه از بدنی سد با نرخ نمونه‌بداری ۵۰ نمونه در ثانیه به صورت همزمان با دستگاه‌های لرزه‌نگار ثبت می‌شد. با توجه به طول کابل‌های حسگر به ثبات ۷/۵ و ۳۰ متری) و تعداد ۴ دستگاه ثبات استفاده شده، موقعیت نقاط استقرار حسگرها بر روی بدنی سد به نحوی تنظیم می‌شد که در محاسبه‌ی اشکال مودی مدهای پایین، عملاً از دامنه و فاز ۶ نقطه بتوان استفاده کرد. در این حالت از نتایج ۳ دستگاه حسگری که با فاصله‌ی ۱۵ متری حسگرها دیگر مستقر شده بود فقط برای کنترل دامنه و فاز حسگرکناری استفاده می‌شد. موقعیت



شکل ۴. نمونه‌ی از رکوردهای انفجار (انفجار ۱۷۵ کیلوگرم مواد ناریه در حوضچه‌ی آرامش) ثبت شده در تاج سد مسجدسلیمان در جهت بالادست - پایین دست به همراه نتایج پردازش با روش چهارطیفی.

چپ و پایین دست سد، در زمان انجام آزمایش در مراحل پایانی حفاری (با انفجار مواد ناریه) قرار داشت. قبل از انجام انفجارهای اصلی در سایت، دو انفجار کوچک با وزن مواد ناریه ۷/۵ و ۱۵ کیلوگرم در دامنه‌ی راست بدنی سد برای کالیبره کردن دستگاههای لرزه‌نگار انجام شد. پس از انجام انفجار کالبیراسیون و ایده‌گرفتن از حداقل دامنه‌ی سرعت و شتاب در بدنی سد، آمادگی برای ثبت ارتعاشات بدنی سد به انفجارهای سنگین نیروگاه در حال احداث سد ایجاد شد و ارتعاشات بدنی سد به ۳ انفجار در کف نیروگاه با وزن‌های مواد ناریه ۱۰۰، ۵۰۰ و ۸۰۰ کیلوگرم ثبت شد.

این تذکر لازم است که وزن مواد ناریه در انفجارهای مختلف سایتی در سدهای مذکور همواره به گونه‌ی کنترل شده است که با عدم ورود به محدوده‌ی غیرخطی خاک، هیچ‌گونه تغییرشکل ماندگار در بدنی سد ایجاد نشود و برای تأمین این حالت، از ضریب اطمینان بزرگی نیز استفاده شده است. بنابراین با اطمینان می‌توان گفت که در کلیه‌ی انفجارهای مذکور بدنی سدها در محدوده‌ی خطی قرار داشته است.

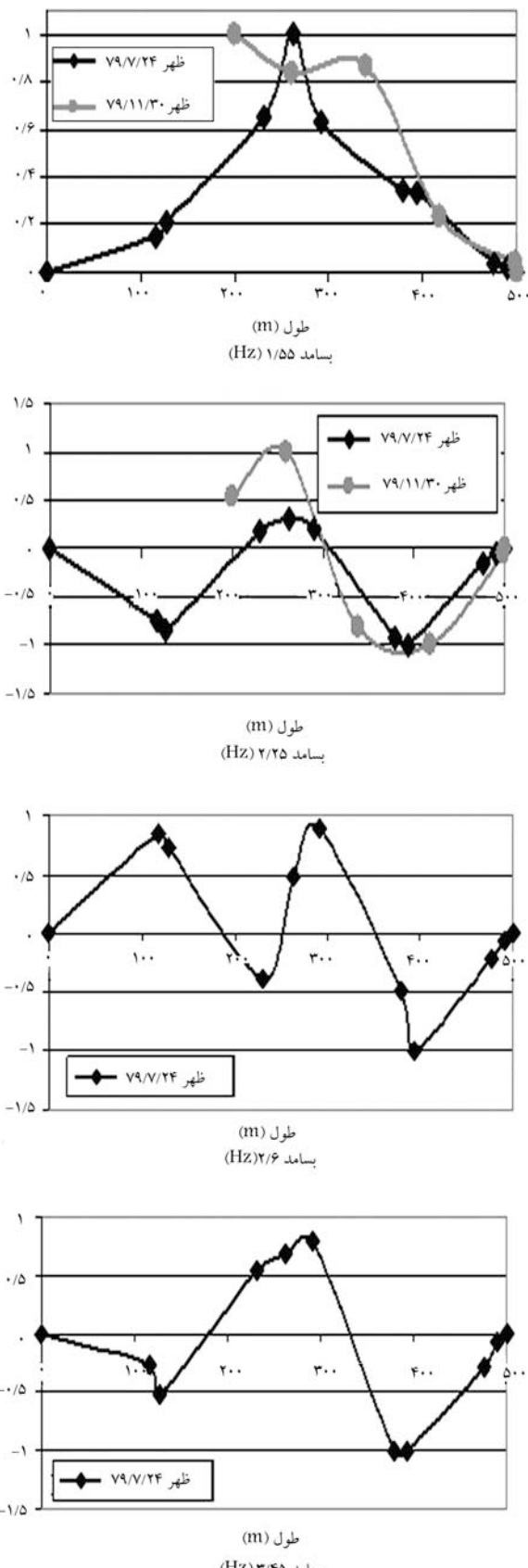
۵. نتایج پردازش رکوردهای انفجار در سد مسجدسلیمان

۱.۵. نتایج روش چهارطیفی

رکوردهای انفجار ثبت شده در بدنی سد مسجدسلیمان با روش چهارطیفی (طبق بند ۲) پردازش شد و طیف‌های مربوط برای تمام رکوردهای ثبت شده در نقاط مختلف بدنی سد و در جهت‌های بالادست - پایین دست، طولی و قائم به دست آمد. در شکل ۴ نمونه‌ی از نتایج پردازش نگاشتهای ثبت شده در جهت بالادست - پایین دست سد برای انفجار ۱۷۵ کیلوگرم مواد ناریه در حوضچه‌ی آرامش شامل تاریخچه‌ی زمانی نگاشت دو نقطه از بدنی سد، دامنه‌ی طیف‌های PSD، CPS، CS و CCPS ارائه شده است. بر اساس الگوریتم شرح داده شده در بند ۲.۲، بسامدهای استخراج شده از این مرحله در جهت‌های بالادست - پایین دست، طولی و قائم طبق جدول ۱ جمع‌آوری شد. در این مرحله و با پیگیری الگوریتم ارائه شده در

جدول ۱. بسامدهای مودی پیشنهادی بدنی سد مسجدسلیمان در آزمایش ارتعاش انفجار برای بررسی بیشتر با ترسیم اشکال مودی بدنی سد.

شماره (بسامد مودی (هرتز))	جهت قائم (بسامد مودی (هرتز))	جهت طولی (بسامد مودی (هرتز))	جهت بالادست - پایین دست (بسامد مودی (هرتز))
۱	۱/۵۵	۱/۵۵	۱/۵۵
۲	۲/۲۵	۱/۸	۲/۲۵
۳	۲/۶	۲/۲	۲/۶
۴	۴/۴	۲/۵۵	۳/۴
۵	۵/۶۵	۳/۳	۵/۵
۶	۸/۸۵	۳/۸	۶/۹
۷	۱۰/۲۵	۴/۲۵	۸/۶۵
۸	۱۰/۵	۵/۴	-
۹	۱۲/۶	۵/۹۵	-
۱۰	-	۶/۸	۱۰
۱۱	-	۱۰/۲۵	-



شکل ۵. اشکال مودی بدنی سد مسجدسلیمان در جهت بالادست-پایین دست حاصل از آزمایش ارتعاش انفجار با استفاده از روش چهارطیفی.

جدول ۲. بسامدهای مودی بدنی سد مسجدسلیمان در آزمایش ارتعاش انفجار و اشکال مودی شناسایی شده با روش چهارطیفی.

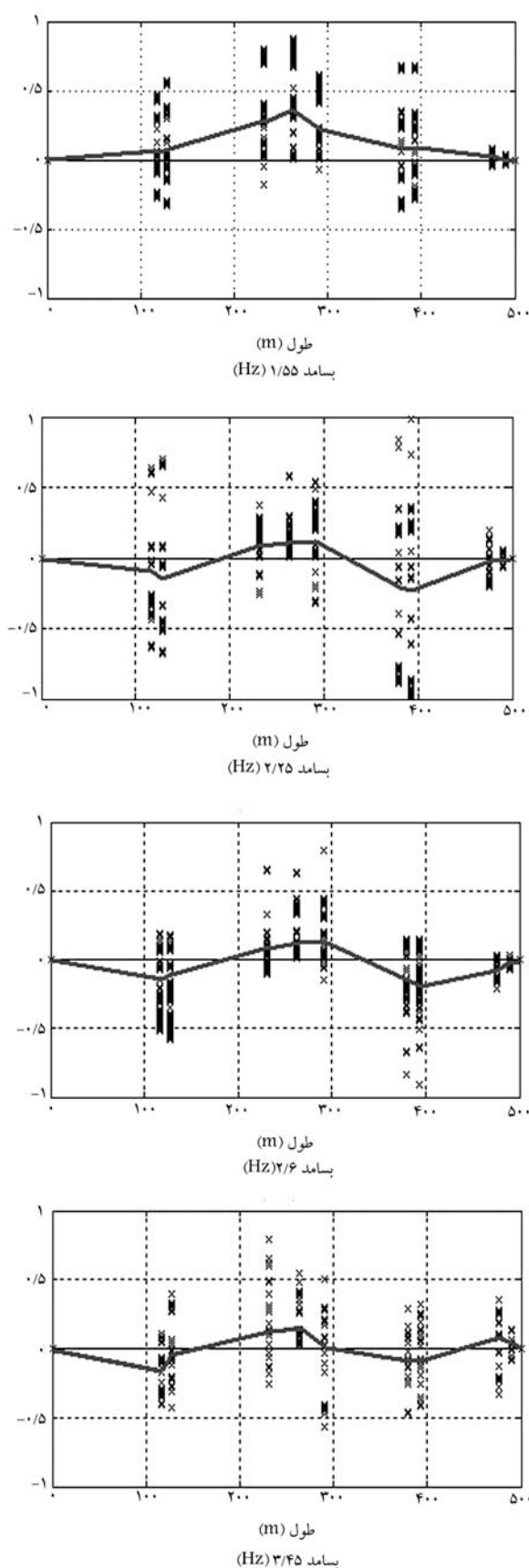
نوع مود	جهت	شکل مودی	بسامد مودی (هرتز)	شماره
		بسامد مودی		
اول متقارن	بالادست-پایین دست	بالادست-پایین دست	۱/۵۵	۱
اول نامتقارن	طولی	بالادست-پایین دست	۲/۲۰	
دوم متقارن	بالادست-پایین دست	بالادست-پایین دست	۲/۲۵	۲
-	قائم	بالادست-پایین دست	۲/۲۵	
دوم متقارن	طولی	بالادست-پایین دست	۲/۵۵	
دوم نامتقارن	بالادست-پایین دست	بالادست-پایین دست	۲/۶۰	۳
اول نامتقارن	قائم	بالادست-پایین دست	۲/۶۰	
دوم متقارن	طولی	بالادست-پایین دست	۳/۳۰	۴
دوم متقارن	بالادست-پایین دست	بالادست-پایین دست	۳/۴۰	
دوم نامتقارن	طولی	بالادست-پایین دست	۳/۸۰	۵
-	طولی	بالادست-پایین دست	۴/۲۵	۶
دوم نامتقارن	قائم	بالادست-پایین دست	۴/۴۰	۷
-	طولی	بالادست-پایین دست	۵/۴۰	۸
دوم متقارن	قائم	بالادست-پایین دست	۵/۶۵	۹
-	طولی	بالادست-پایین دست	۶/۸۰	۱۰
-	بالادست-پایین دست	بالادست-پایین دست	۶/۹۰	
-	بالادست-پایین دست	بالادست-پایین دست	۸/۶۵	۱۱
-	قائم	بالادست-پایین دست	۸/۸۵	۱۲
-	قائم	بالادست-پایین دست	۱۰/۵۰	۱۳
-	قائم	بالادست-پایین دست	۱۲/۶۰	۱۴

بند ۳.۲. اشکال مودی در کلیه‌ی بسامدهای مودی پیشنهادشده از مرحله‌ی قبل (۲.۲). ترسیم شد و در بسامدهایی که شکل مود به دست آمده است، یکی از اشکال مودی شناخته شده سد را شناسایی می‌کرد، بسامد مذکور به مبنای بسامد مودی و شکل مربوط نیز به مبنای شکل مودی بدنی سد تعیین شد.

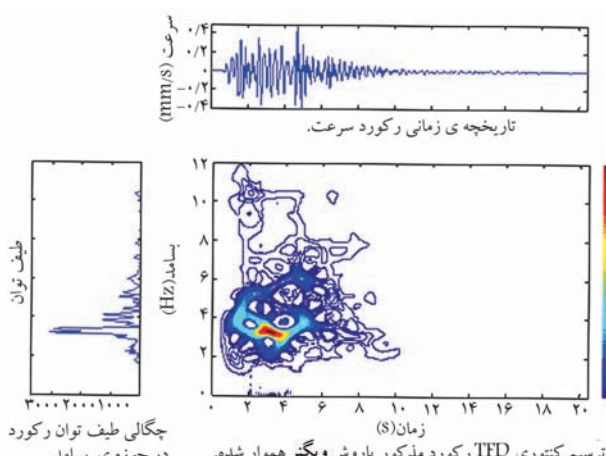
در جدول ۲ بسامدها و اشکال مودی شناسایی شده بدنی سد جمع‌آوری شده‌اند. با توجه به فاصله‌ی زیاد بین حسگرهای نصب شده بر روی بدنی سد (به دلیل محدودیت تعداد حسگرهای امکان شناسایی مودهای بالاتر از مود دوم در هر سه جهت بالادست-پایین دست، طولی و قائم حاصل نشد. با این وجود، در جدول ۲، بسامدهای مودی (بدون اشاره به نوع مود) تا بسامد ۱۲/۶ هرتز معرفی شده‌اند و این، به دلیل اطمینان زیاد به بسامدهای مذکور در مرحله‌ی پردازش است. در شکل ۵، نمونه‌یی از اشکال مودی رسم شده در جهت بالادست-پایین دست سد با روش چهارطیفی ارائه شده است. همان‌گونه که در شکل مذکور مشاهده می‌شود، اشکال مودی تاج سد در بسامدهای ۱/۵۵ و ۲/۲۵ هرتز، برای دو آرایش دستگاه‌های لرزه‌نگار در نیمه‌ی راست و کل تاج سد در دو انفجار مختلف رسم شده است.

۲.۵. نتایج روش TFD

همان‌طورکه در بند ۳ شرح داده شد، روش‌های متفاوتی برای توزیع زمان - بسامدی سیگنال معرفی شده است. برای انتخاب مناسب‌ترین روش در پردازش نگاشتهای موردنظر، رکورد سرعت ثبت شده در وسط تاج سد به انفجار در قسمت منابع قرضه (که قوی‌ترین انفجار سایتی بوده است) با ۱۵ روش مختلف TFD پردازش شد و



شکل ۷. اشکال مودی بدنی سد مسجدسلیمان در جهت بالا دست-پایین دست حاصل از آزمایش ارتعاش انفجار با استفاده از TFD.



شکل ۶. نمونه‌ی از رکوردهای انفجار در متابع قرضه (انفجار در متابع قرضه) ثبت شده در تاج سد مسجدسلیمان در جهت بالا دست-پایین دست به همراه نتایج پردازش با روش TFD.

در نهایت با توجه به وضوح بالای توزیع ویکنر هموارشده (SPWV) ^{۲۲} در پردازش رکوردهای ذکور، از این روش برای تحلیل مابقی رکوردهای انفجار در متابع قرضه استفاده شد. در شکل ۶، نمونه‌ی از ترسیم کنتوری نحوه تغییرات دامنه‌ی طیف رکوردهای انفجار در متابع قرضه مصالح در حوزه‌ی زمان-زمان با استفاده از روش SPWV قابل مشاهده است.

در این تحقیق، فقط بسامدهای مودی شناسایی شده در روش چهارطیفی، با استفاده از روش SPWV بررسی مجدد شد. بنابراین در این بسامدهای ذکور به اشکال مودی شناخته شده سد با دقت بیشتری بررسی شود. در شکل ۷ نمونه‌ی از اشکال مودی رسم شده در جهت بالا دست-پایین دست سد با روش TFD ارائه شده است. در این شکل مقادیر دامنه هر یک از نقاط تاج سد در زمان‌های مختلف نگاشت انفجار با علامت (×) مشخص شده و در نهایت، منحنی میانگین دامنه نقاط در طول زمان به عنوان معیاری از شکل مود ارتعاشی تاج سد رسم شده است.

۳.۵. مقایسه‌ی نتایج روش‌های چهارطیفی و TFD

برای بررسی نقاط قوت و ضعف روش‌های چهارطیفی و TFD در استخراج بسامدها و اشکال مودی سدهای خاکی، نتایج حاصل از پردازش رکوردهای انفجار ثبت شده در بدنی سد مسجد سلیمان به روش چهارطیفی با نتایج حاصل از پردازش رکوردهای انفجار ذکور با استفاده از توزیع TFD مطابق جدول ۳ مقایسه شدند.

نکته‌ی قابل توجه در این جدول این است که در جهت قائم، اشکال مود در بسامد ۲/۲۵ هرتز به روش چهارطیفی تعیین نشده است. عدم ارائه‌ی آن در جدول ۳ به این دلیل است که در پردازش رکوردهای ثبت شده در بدنی سد برای انفجارهای مختلف، اشکال مودی مختلفی در این بسامد شناسایی شده است. لذا با توجه به نتایج مطالعات قبلی انجام شده در پژوهشگاه بین المللی زلزله‌شناسی و مهندسی زلزله که شامل پردازش رکوردهای ثبت شده در بدنی سد مسجد سلیمان ناشی از ارتعاش اجباری و محیطی و همچنین تحلیلهای عددی بر روی مدل‌های مختلف سد است و در جدول ۴ ارائه شده است، ^[۱] مشاهده می‌شود که بسامد ۲/۲ هرتز در جهت قائم، مربوط به مود اول متقارن سد در این جهت است. همان‌طور که در جدول ۳ نیز مشاهده می‌شود با استفاده از توزیع زمان-بسامدی رکوردها به روش

جدول ۳. بسامدهای مودی بدنه‌ی سد مسجدسلیمان حاصل از نتایج آزمایش ارتعاشات ناشی از انفجارهای مختلف سایتی در سد مسجدسلیمان با دو روش چهارطیفی و

TFD	روش		روش چهارطیفی		جهت	شماره
	بسامد مودی (Hz)	شکل مود	بسامد مودی (Hz)	شکل مود		
۱,۵۵	اول متقارن	۱,۵۵	اول متقارن	اول متقارن	بالادست-پایین دست	۱
۲,۲	اول نامتقارن	۲,۲	اول نامتقارن	اول نامتقارن	طولی	۲
۲,۲۵	دوم متقارن	۲,۲۵	دوم متقارن	دوم متقارن	بالادست-پایین دست	۳
۲,۲۵	اول متقارن	۲,۲۵	-	-	قائم	۴
۲,۶	دوم متقارن	۲,۲۵	دوم متقارن	دوم متقارن	طولی	۵
۲,۶	دوم متقارن	۲,۶	دوم نامتقارن	دوم نامتقارن	بالادست-پایین دست	۶
۲,۵۵	دوم متقارن	۲,۶	اول نامتقارن	اول نامتقارن	قائم	۷
۳,۲۵	دوم متقارن	۳,۳	دوم متقارن	دوم متقارن	طولی	۸
۳,۴۵	دوم نامتقارن	۳,۴	دوم متقارن	دوم متقارن	بالادست-پایین دست	۹
۳,۷	دوم نامتقارن	۳,۸	دوم نامتقارن	دوم نامتقارن	طولی	۱۰
۴,۴	دوم نامتقارن	۴,۴	دوم نامتقارن	دوم نامتقارن	قائم	۱۱
۵,۷	دوم متقارن	۵,۶۵	دوم متقارن	دوم متقارن	قائم	۱۲

جدول ۴. مقایسه‌ی بسامدهای مودی بدنه‌ی سد مسجدسلیمان حاصل از نتایج مطالعات قبلی و مطالعه‌ی حاضر.

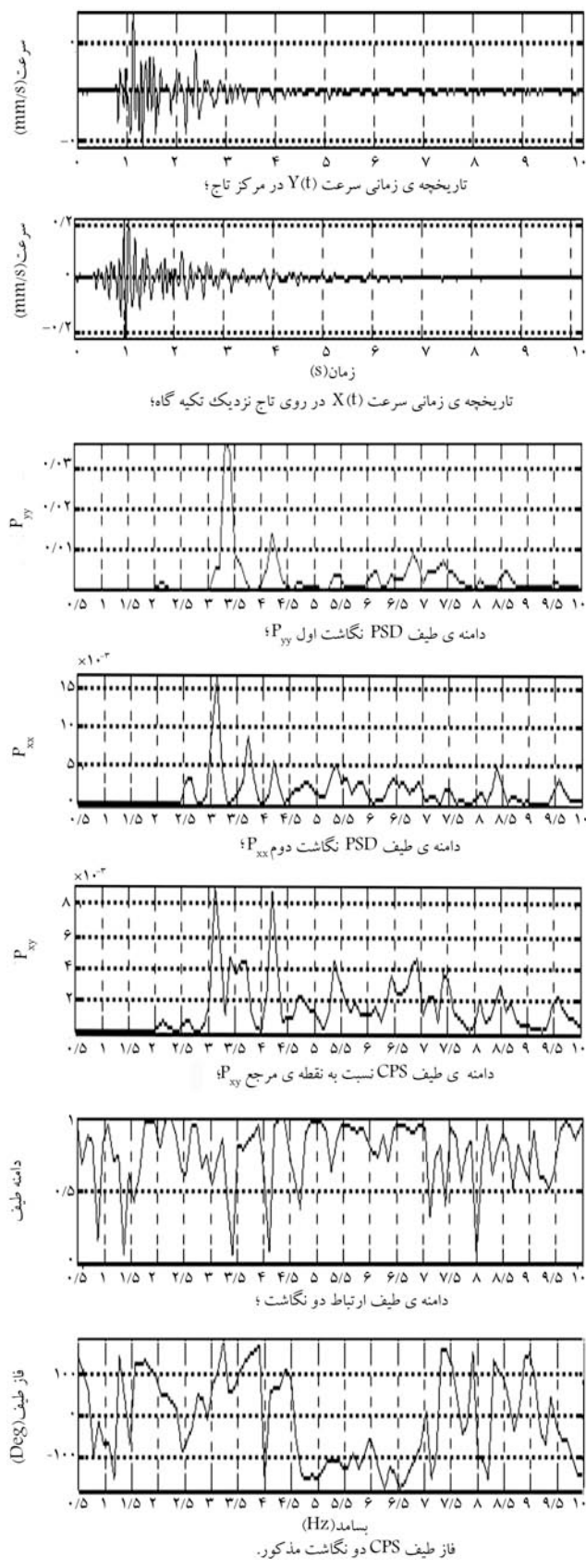
مطالعه حاضر	بسامد مودی (بر حسب هرتزا)	شکل مود		جهت	شماره
		مطالعات قبلی [۱]	نوع		
۱,۵۵	۱,۵	اول متقارن	اول متقارن	بالادست-پایین دست	۱
-	۱,۷	اول متقارن	اول متقارن	طولی	۲
-	۱,۸	اول نامتقارن	اول نامتقارن	بالادست-پایین دست	۳
۲,۲۵	۲,۱	اول متقارن	اول متقارن	قائم	۴
۲,۲	۲,۲	اول نامتقارن	اول نامتقارن	طولی	۵
۲,۲۵ و ۲,۶	۲,۹	دوم متقارن	دوم متقارن	بالادست-پایین دست	۶
-	۳	دوم متقارن	دوم متقارن	قائم	۷
۲,۵۵ و ۳,۳	۳,۳	دوم متقارن	دوم متقارن	طولی	۸
۳,۴۵	۳,۵	دوم نامتقارن	دوم نامتقارن	بالادست-پایین دست	۹
۳,۸	-	دوم نامتقارن	دوم نامتقارن	طولی	۱۰
۴,۴	-	دوم نامتقارن	دوم نامتقارن	قائم	۱۱

توجه: نتایج مطالعات قبلی پژوهشگاه با استفاده از مدل‌های عددی و آزمایش‌های ارتعاشی (اجباری، محیطی و انفجار) با روش چهارطیفی به دست آمده و نتایج مطالعه‌ی حاضر با استفاده از آزمایش ارتعاش انفجار و با دو روش چهارطیفی و TFD استخراج شده است.

سد در بسامدهای مذکور است. در روش دوم، با انجام مطالعات تکمیلی می‌توان از دستگاههای لرزه‌منگار که به تعداد کافی و در ارتفاع بدنه‌ی سد نصب شده باشند استفاده کرد و ارتعاشات بدنه‌ی سد را در ارتفاع ثبت کرده و پس از پردازش این رکوردها شکل مود در ارتفاع بدنه‌ی سد را در بسامدهای مریبوط تعیین کرد. از آن‌جا که در زمان ثبت ارتعاشات بدنه‌ی سد در بسامدهای افجعه‌ای مختلف سایتی، ارتعاشات نطاًی از پوسته‌ی پایین دست و بالادست که بر روی مقطع بیشینه‌ی سد قرار داشتند ثبت شده است امکان استفاده از روش دوم در تحقیق حاضر فراهم

ویگذر هموار شده، مود اول متقارن جهت قائم در بسامد ۲,۲۵ هرتزا نشانی شده است که انطباق خوبی با نتایج قبلی دارد.

با توجه به جدول ۳ مشاهده می‌شود که برخی از مودهای ارتعاشی سد در جهات بالادست-پایین دست، طولی و قائم، در چند بسامد مختلف شناسایی شده است. تحریک یک مود مشخص در دو بسامد مختلف می‌تواند به مقاومت شکل مود در ارتفاع بدنه‌ی سد مریبوط شود که با دو روش زیر قابل شناسایی خواهد بود: روش اول، استفاده از مدل‌های عددی سه‌بعدی سد و تعیین شکل مود در ارتفاع بدنه‌ی



شکل ۸. نمونه‌ی از رکوردهای انفجار (انفجار ۱۰۰ کیلوگرم مواد ناریه در نیروگاه در حال احداث) ثبت شده در تاج سد مارون در جهت بالادست -پایین دست به همراه نتایج پردازش با روش چهارطیفی.

شد. بنابراین در ادامه بحث، ابهامات موجود در هر کدام از سه جهت اصلی سد با انجام مطالعات تکمیلی بر طرف می‌شود.

در جهت بالا دست -پایین دست، در روش چهارطیفی بسامد ۳/۴ هرتز مود دوم مقارن را شناسایی می‌کند، در حالی که با استفاده از روش TFD مشخص می‌شود که بسامد ۳/۴۵ هرتز به مود دوم مقارن تعلق دارد. لذا با بررسی نتایج مطالعات قبلی صورت‌گرفته بر روی سد مسجد سلیمان (که در جدول ۴ معنکس شده است)^[۱] مشاهده شد که در نتایج مربوط به پردازش رکوردهای ثبت شده‌ی بندنه‌ی سد در ارتعاش اجباری در جهت بالادست -پایین دست، بسامد ۳/۵ هرتز مود دوم مقارن را تحریک می‌کند. با توجه به تعداد بیشتر حسگرهای مورد استفاده در آزمایش ارتعاش اجباری و دقت بالاتر آن نسبت به انفجار، به نظر می‌رسد که مود دوم مقارن در TFD برای بسامد ۳/۴۵ هرتز در این جهت، انتظام بیشتری با واقعیت داشته باشد. همچنین برای بسامد ۲/۶ هرتز با استفاده از روش چهارطیفی مود دوم مقارن و با استفاده از توزیع TFD مود دوم مقارن شناسایی شده است، این در حالی است که در مطالعات صورت‌گرفته‌ی قبلی، بسامد مزبور مشاهده نمی‌شود. مطالعات تکمیلی با پردازش نگاشت‌های ثبت شده در پوسته‌ی پایین دست در جهت مذکور نشان داد که در بسامد ۲/۲۵ هرتز، مود اول تیرطه و در بسامد ۲/۶ هرتز، مود دوم تیرطه در ارتفاع سد تحریک می‌شود که با توجه به این موضوع به نظر می‌رسد بسامد ۲/۶ هرتز نیز مربوط به مود دوم مقارن باشد که شکل مود آن در ارتفاع سد تغییر کرده است.

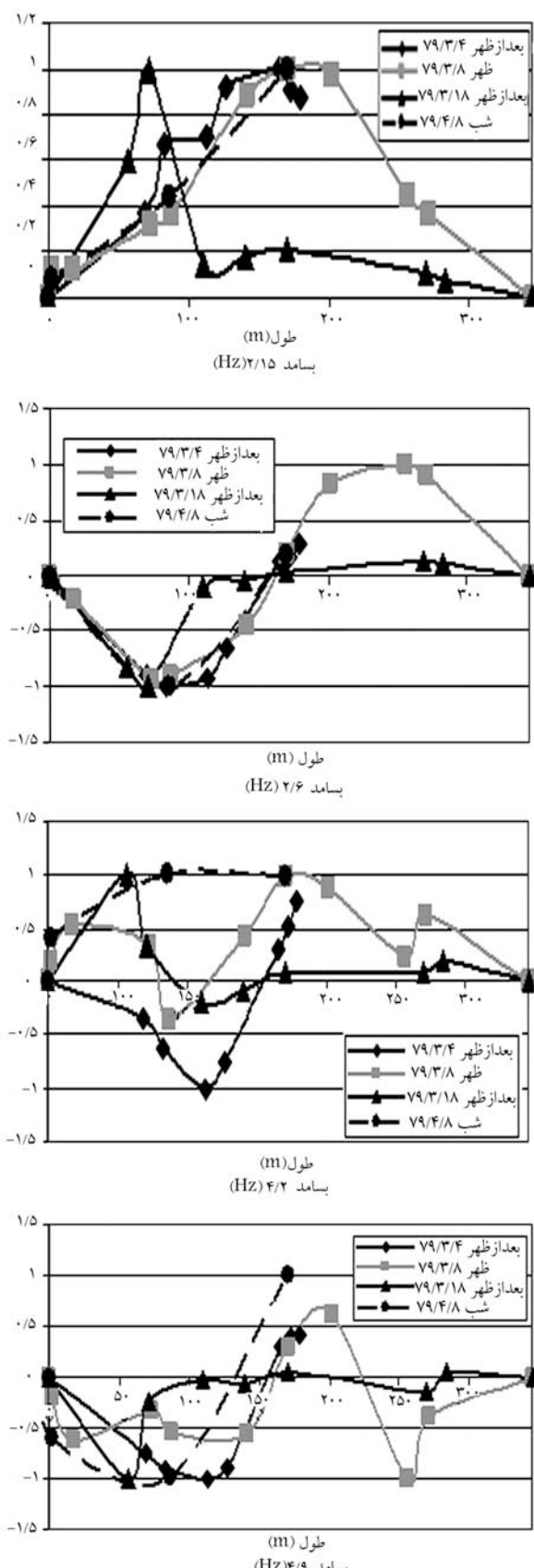
در جهت طولی سد، شکل مود دوم مقارن در هر دو روش چهارطیفی و TFD در دو بسامد مختلف (به ترتیب بسامدهای ۲/۶ و ۳/۲۵ و ۲/۵۵ و ۳/۳ هرتز) شناسایی شد. نتایج مطالعات تکمیلی در ارتفاع سد نشان داد که در بسامد ۲/۶ هرتز، مود اول تیرطه و در بسامد ۳/۳ هرتز، مود دوم تیرطه در ارتفاع سد تحریک می‌شود. بنابراین به نظر می‌رسد هر دو بسامد مذکور مربوط به مود دوم مقارن باشند که شکل مود آن‌ها در ارتفاع سد تغییر کرده است.

در جهت قائم نیز با استفاده از روش چهارطیفی برای بسامد ۲/۶ هرتز مود اول مقارن و در توزیع TFD برای بسامد ۲/۵۵ هرتز مود دوم مقارن شناسایی می‌شود که در نتایج مطالعات قبلی، بسامد مزبور مشاهده نمی‌شود. لذا از آن جا که ارتعاش پوسته‌ی پایین دست سد در جهت قائم در زمان انفجار ثبت نشده است، تعیین شکل مود در ارتفاع سد برای این بسامد مقدور نبوده است و اظهار نظر در مورد این بسامد به تحقیقات بیشتری نیاز دارد.

۶. نتایج پردازش رکوردهای انفجار در سد مارون

نگاشت‌های انفجار ثبت شده در بندنه‌ی سد مارون نیز طبق بند ۲ و با روش چهارطیفی پردازش شد و بسامدها و اشکال مودی سد به دست ۲/۶ هرتز مود دوم مقارن شناسایی پردازش نگاشت‌های انفجار ۱۰۰ کیلوگرم مواد ناریه در نیروگاه در حال احداث را نشان می‌دهد.

در جدول ۵، براساس نتایج پردازش شده‌ی کلیه‌ی نگاشت‌های انفجار بسامدهای مودی شناسایی شده‌ی بندنه‌ی سد در جهت بالادست -پایین دست جمع‌آوری شده‌اند. این تذکر لازم است که در دو جهت طولی و قائم سد مارون ارتعاشات نیمه‌ی چوب بندنه‌ی سد در برابر انفجار، ثبت شده بود که با توجه به تعداد کم حسگرهای سه حسگر در نیمه‌ی چپ بندنه‌ی سد) و ثبت نشدن ارتعاشات بندنه‌ی سد در کل طول تاج، امکان شناسایی مود در این دو جهت میسر نشده است. با این وجود، در جدول



شکل ۹. اشکال مودی بدنی سد مارون در جهت بالادست -پایین دست حاصل از آزمایش ارتعاش انفجار با استفاده از روش چهارطیفی.

جدول ۵. بسامدها و اشکال مودی بدنی سد مارون در جهت بالادست -پایین دست و بسامدهای مودی پیشنهادی بدنی سد در دو جهت طولی و قائم در آزمایش ارتعاش انفجار در نیروگاه در حال احداث با روش چهارطیفی.

شماره	جهت طولی بسامد مودی (هرتز)	جهت قائم بسامد مودی (هرتز)	جهت بالادست-پایین دست	
			نوع مود	بسامد مودی (هرتز)
۱	۲,۱۵	۱,۷۵	اول متقارن	۲,۵۵
۲	۲,۶	۲,۲۵	اول نامتقارن	۳,۰۵
۳	۴,۲	۲,۶	دوم متقارن	۳,۷
۴	۴,۹	۳	دوم نامتقارن	۴,۲
۵	۵,۴۵	۳,۷	-	۴,۵
۶	۵,۸	۴,۵	-	۵,۹
۷	۶,۴۵	۶,۳۵	-	۶,۴۵
۸	۶,۸	۶,۷۵	-	۵,۳
۹	۷,۵	-	۶,۸	-
۱۰	۸,۱	-	۷,۳۵	-
۱۱	۸,۶	-	۷,۶	-

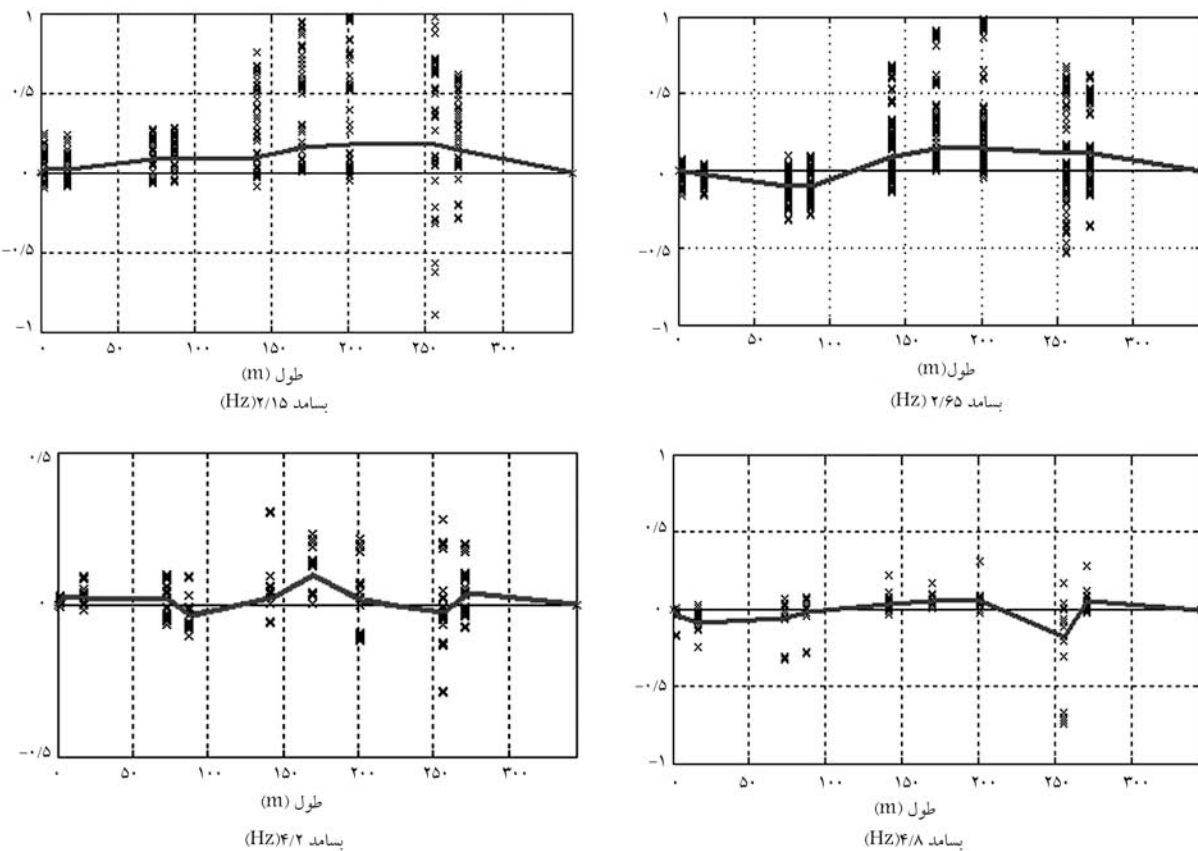
۵. بسامدهای مودی پیشنهادی بدنی سد مارون (بدون اشاره به نوع مود) تا بسامد ۷,۶ هرتز در دو جهت طولی و قائم معرفی شده‌اند. همان‌گونه که در جدول ۵ مشاهده می‌شود، مودهای اول متقارن و اول نامتقارن سد مارون در جهت بالادست -پایین دست به ترتیب در بسامدهای ۲,۱۵ و ۲,۶ هرتز تحریک می‌شوند. مودهای دوم متقارن و دوم نامتقارن این جهت نیز به ترتیب در بسامدهای ۴,۲ و ۴,۹ هرتز اتفاق می‌افتد.

با دقت در جدول ۵ ملاحظه می‌شود در جهت بالادست -پایین دست سد مارون به دلیل فاصله زیاد بین حسگرهای نصب شده بر روی بدنی سد (به دلیل محدودیت تعداد حسگرهای امکان شناسایی مودهای بالاتر میسر نشده است و برای بسامدهای مودی بالاتر از ۴,۹ هرتز در این جهت، مود مشخصی تعلق نگرفته است. با این وجود، در جدول ۵ بسامدهای مودی (بدون اشاره به نوع مود) تا بسامد ۸,۶ هرتز معرفی شده‌اند و این به دلیل اطمینان زیاد به بسامدهای مذکور در مرحله‌ی پردازش رکوردهای ثبت شده بدنی سد در جهت بالادست -پایین دست است. اشکال مودی رسم شده در جهت بالادست -پایین دست سد با روش چهارطیفی در شکل ۹ ارائه شده اند.

در شکل ۹ برای هر یک از بسامدهای مودی شناسایی شده، اشکال مودی تاج سد برای آرایش کل تاج در ۲ انفجار مختلف و نیمه‌ی چپ برای ۲ انفجار مختلف رسم شده است.

در سد مارون نیز نتایج حاصل از پردازش رکوردهای انفجار ثبت شده در بدنی سد در جهت بالادست -پایین دست به روش چهارطیفی با نتایج حاصل از پردازش رکوردهای انفجار مذکور با استفاده از توزیع TFD مطابق جدول ۶ مقایسه شدند. اشکال مودی رسم شده در جهت بالادست -پایین دست سد با روش TFD (مشابه منطق ارائه شده در شکل ۷) در شکل ۷ ارائه شده است.

نکته‌ی قابل توجه در این جدول این است که برای بسامد ۴,۲ هرتز در روش چهارطیفی مود دوم متقارن و در روش TFD مود سوم متقارن شناسایی شده است.



شکل ۱۰. اشکال مودی بدنی سد مارون در جهت بالادست - پایین دست حاصل از آزمایش ارتعاش انفجار با استفاده از TFD.

جدول ۷. مقایسه‌ی بسامدهای مودی بدنی سد مارون حاصل از نتایج مطالعات قبلی و مطالعه‌ی حاضر (جهت بالادست - پایین دست).

بسامد مودی (هرتز)	نوع مود	شماره
مطالعات قبلی [۱]	مطالعات حاضر	
۲/۱۵	۲/۱	۱
۲/۶	۲/۶	۲
-	۳/۳	۳
۴/۸	-	۴
	دوم نامتقارن	

توجه: نتایج مطالعات قبلی پژوهشگاه با استفاده از آزمایش ارتعاش محیطی با روش چهارطیفی به دست آمده و نتایج مطالعه‌ی حاضر با استفاده از آزمایش ارتعاش انفجار و با دو روش چهارطیفی و TFD استخراج شده است.

جدول ۶. بسامدهای مودی بدنی سد مارون حاصل از نتایج آزمایش ارتعاشات ناشی از انفجارهای مختلف سایتی در سد مارون با دو روش چهارطیفی و TFD (جهت بالادست - پایین دست).

شماره	روش چهارطیفی	روش TFD
	نوع مود (هرتز)	نوع مود (هرتز)
۱	۲/۱۵	۲/۱۵
۲	۲/۶	۲/۶
۳	۴/۲	۴/۲
۴	۴/۹	۴/۹

از طرفی بر اساس نتایج آزمایش ارتعاش محیطی انجام شده در مطالعات قبلی بر روی بدنی سد مارون که در جدول ۷ معکوس شده است، بسامد ۴/۲ هرتز شناسایی نشده است که اظهارنظر در مورد این بسامد را با مشکل مواجه می‌کند. از این رو می‌توان با انجام آزمایش ارتعاش اجباری و با استفاده از دستگاه‌های لرزه‌نگار که به تعداد کافی و در بدنی سد نصب شده باشند، ارتعاشات بدنی سد را در این بسامد ثبت کرد و پس از پردازش این رکوردها شکل مود مربوط را تعیین کرد. به عنوان راه حل دیگر، می‌توان از مدل‌های عددی سه بعدی سد استفاده کرد و شکل مودی بدنی سد را در بسامد مذکور تعیین کرد.

۷. نتیجه‌گیری

پردازش نگاشت‌های حاصل از ثبت ارتعاشات ۱۹ انفجارسایتی (از ۷/۵ الی ۱۲۵۰) کیلوگرم مواد ناریه در هر انفجار و آرایش‌های مختلف حسن‌گرها (نیمه‌ی چپ، نیمه‌ی راست، کل تاج و حداقل مقطع) در جهت‌های بالادست - پایین دست، طولی و قائم در سدهای مارون و مسجدسلیمان با استفاده از دو روش چهارطیفی و TFD انجام شد. در سدهای مارون، با پردازش نگاشت‌های ثبت شده بر روی سد مذکور، بسامد مودی اول بدنی سد در محدوده‌ی بسامدهای ۱۲/۶-۱۵/۵ هرتز به دست

در سد مذکور به دلیل فاصله‌ی زیاد بین حس‌گرهای نصب شده بر روی بدنه‌ی سد (به دلیل محدودیت تعداد حس‌گرهای امکان شناسایی شکل مود برای بسامدهای مودی بالاتر از $4/8$ هرتز میسر نشد. با توجه به مطالعات مذکور، بسامد مودی مربوط به اولین مود متقارن و نامتقارن سد در جهت بالادست پایین دست به ترتیب برابر $2/15$ و $2/6$ هرتز بودست آمد.

در مجموع، مطالعات مذکور که بر روی نگاشتهای انفجار ثبت شده در دو سد خاکی بزرگ کشور با کوچکترین نسبت طول به ارتفاع انجام گرفت، نشان می‌دهد استفاده از روش TFD در پردازش سیگنال‌های نامان، به دلیل قابلیت نمایش مشخصات سیگنال در حوزه‌ی زمان-بسامد و دقت بالای استخراج بسامدها و اشکال مودی سد، نتایج بهتری در مقایسه با روش چهارطیفی ارائه می‌دهد. این در حالی است که بر اساس مطالعات صورت‌گرفته‌ی قبلی، روش چهارطیفی قوانایی بالایی در برآورد مشخصات دینامیکی سازه‌ها؛ از جمله سدهای خاکی؛ در حالت استفاده از نگاشتهای نامان دارد.

تقدیر و تشکر

در انتها از مساعدت مسئولین محترم سازمان آب و برق خوزستان، شرکت مهندسین مشاور مهاب قدس و همکاری صمیمانه، مشاور و پیمانکار سدهای مارون و مسجد سلیمان و همچنین از همکاری بخش تجهیزات لرزه‌نگاری پژوهشگاه بین‌المللی زلزله‌شناسی و مهندسی زلزله در مراحل مختلف انجام آزمایش‌های صورت‌گرفته بر روی سدهای مذکور تشکر و قدردانی می‌شود.

پانوشت

1. time-frequency distribution
2. fast fourier transform
3. power spectral density function
4. auto power spectra
5. auto spectral density function
6. auto spectrum
7. cross power spectra
8. cross correlation phase spectrum
9. coherence spectra
10. wavelet
11. auto correlation function
12. Wiener-Khinchin relationship
13. cross correlation function
14. real
15. imaginary
16. linear
17. quadratic
18. bilinear
19. Kernel method
20. Cohen class

آمد که برای 10 مود اول، اشکال مودی نیز شناسایی شد ولی به دلیل فاصله‌ی زیاد بین حس‌گرهای نصب شده بر روی بدنه‌ی سد (به دلیل محدودیت تعداد حس‌گرهای امکان شناسایی شکل مود برای بسامدهای مودی بالاتر از $4/4$ هرتز میسر نشد. در این راستا، بسامد مودی مربوط به اولین مود متقارن سد در جهت بالادست-پایین دست برابر $1/55$ هرتز و در جهت قائم برابر $2/25$ هرتز برآورد شد. در جهت طولی نیز بسامد مودی مربوط به اولین مود نامتقارن برابر $2/2$ هرتز به دست آمد. همچنین نتایج مطالعات نشان داد در برخی از بسامدها، نوع مود شناسایی شده با دو روش چهارطیفی و TFD متفاوت است که با توجه به تحقیق حاضر، نتایج حاصل از روش TFD مورد قبول واقع شد. این موضوع دقت بالای روش TFD در تفسیر نتایج رکوردهای نامانی انفجار ثبت شده در سد خاکی مسجدسلیمان را نشان می‌دهد. مطالعات تکمیلی (با پردازش نگاشتهای ثبت شده در ارتفاع) در مواردی که برای دو بسامد مودی مختلف، شکل مود یکسانی در تاج سد شناسایی شده بود، صورت گرفت و اشکال مودی متفاوتی در ارتفاع سد برای بسامدهای مذکور شناسایی شد. در سد مارون به دلیل تعداد کمتر انفجارهای انجام شده در سایت و با توجه به تعداد کم حس‌گرها (تعداد سه حس‌گر در نیمه‌ی چپ بدنه‌ی سد) و ثبت نشدن ارتعاشات بدنه‌ی سد در کل طول تاج برای دو جهت طولی و قائم، امکان شناسایی مود در این دو جهت میسر نشد. لیکن با پردازش نگاشتهای ثبت شده بر روی سد مذکور در جهت بالادست پایین دست، 11 بسامد مودی اول بدنه‌ی سد در محدوده‌ی بسامدهای $2/15-8/6$ هرتز به دست آمد که برای 3 مود اول، اشکال مودی نیز شناسایی شد.

21. new quarry
22. smoothed pseudo wigner ville

منابع

1. Davoodi, M. "Evaluating dynamic characteristics of embankment dams using ambient and forced vibration tests", Ph.D. Thesis (in Persian), *International Institute of Earthquake Engineering and Seismology*, Tehran, I.R. Iran (2003).
2. Jafari, M.K. and Davoodi, M. "Forced and ambient vibration tests of embankment dams", Report (in Persian), *International Institute of Earthquake Engineering and Seismology*, Tehran, I.R. Iran (2002).
3. Severn, R.T. "Field and laboratory studies for earthquake engineering", Experimental and Numerical Methods in Earthquake Engineering, ECSC, EEC, EAEC, *J. Donea and P.M. Jones (eds)*, Printed in Netherlands, pp. 23-45 (1991).

4. Ellis, B.R. and Jeary, A.P. "On the forced vibration testing of dams", *Proceedings of 8Th World Conference Earthquake Engineering*, Sanfrancisco, California; **5**, pp. 119-126 (1984).
5. Cimilli, I.T. "Seismic response analysis of alibey earthfill dam", *M.S. Thesis*, Bogazici University, Turkey (1998).
6. Bendat, J.S. and Piersol, A.G. "Engineering applications of correlation and spectral analysis", Second Edition, *John Wiley & Sons Inc.* (1993).
7. Ghanaat, Y.; Chen, H.Q.; Redpath, B.B.; Hall, R.L. and Marjanishvili, S.M. "Measurement and prediction of dam-water-foundation interaction at longyangxia dam", *Report to the US National Science Foundation on Research Conducted under the Us-China Protocol for Scientific and Technical Cooperation in Earthq. Studies*, QUEST Structures, California (1999).
8. Daniell, W.E. and Taylor, C.A., "Effective ambient vibration testing for validating numerical models of concrete dams", *Earthquake Engineering and Structural Dynamics*, **28**, pp. 1327-1344 (1999).
9. Hessian, M. "Evaluating the different system identification methods in structures using ambient vibration", Ms. Thesis (in Persian), *International Institute of Earthquake Engineering and Seismology*, Tehran, I.R. Iran (2008).
10. Davoodi, M. and Amel Sakhi, M. "Using advanced signal processing techniques on ambient vibration records of a structure", *International Symposium on Advances in Earthquake & Structural Engineering*, Süleyman Demirel University, Isparta-Antalya, Turkey, , pp. 24-26 (October 2007).
11. Jafari, M.K. and Davoodi, M. "Dynamic characteristics evaluation of Masjed Soleiman dam using in-situ dynamic Tests", *Canadian Geotechnical Journal*, **43**(10), pp. 997-1014 (2006).
12. Mivehchi, M.R. "A comparison between the numerical model and prototype dynamic behavior of arch dams; Suggesting some methods for increasing the numerical accuracy", Ph.D. Thesis (in Persian), *Civil Department of Science and Research Branch Islamic Azad University*, Tehran, I.R. Iran (2001).
13. Newland, D.E. "An introduction to random vibration and spectral analysis", *Longman Scientific and Technical* (1984).
14. Hlawatsch, F. and Boudreux-Bartels, G.F. "Linear and quadratic time-frequency signal representations", *Institute of Electrical and Electronics Engineers(IEEE) Signal Processing Magazine.*, pp. 21-67 (1992).
15. Khademi, S. "Processing the non-stationary signals of Masjed Soleiman and Marun embankment dams Using advanced methods in time-frequency domain", Ms. Thesis (in Persian), *International Institute of Earthquake Engineering and Seismology*, Tehran, I.R. Iran (2008).
16. Boashash, B. "Time-frequency signal analysis", *Longman Cheshire* (1992).
17. Bonato, P.; Ceravolo, R.; De Stefano, A. and Molinari, F. "Use of cross-time -frequency estimators for structural identification in non-stationary conditions and under unknown excitation", *Journal of Sound and Vibration*, **237**(5), pp. 775-791 (2000).
18. Farhangi, B. "Contemporary dam construction in Iran", (in Persian), *Iranian National Committee on Large Dams(IRCOLD)*, Tehran (1998).

